



### Eingabe: Farbmétrisches Natürliche-Reflektiv-System CNS18

für Bunton  $h^* = lab^*h = 25/360 = 0.069$

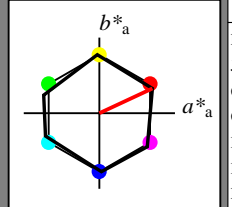
$lab^*tch$  und  $lab^*nch$

D65: Bunton R

LCH\*Ma: 57 77 25

olv\*Ma: 1.0 0.0 0.0

Dreiecks-Helligkeit  $t^*$



### CNS18; adaptierte CIELAB-Daten

	$L^*=L_a^*$	$a^*_a$	$b^*_a$	$C_{ab,a}^*$	$h_{ab,a}^*$
RMa	56.7	70.15	32.71	77.4	25
JMa	56.7	-2.69	77.35	77.4	92
GMa	56.7	-73.6	23.92	77.4	162
G50BMa	56.7	-71.24	-30.23	77.4	203
BMa	56.7	2.7	-77.34	77.4	272
B50RMa	56.7	63.4	-44.38	77.4	325
NMa	18.01	0.0	0.0	0.0	0
WMa	95.41	0.0	0.0	0.0	0
R <sub>CIE</sub>	39.92	58.74	27.99	65.07	25
J <sub>CIE</sub>	81.26	-2.88	71.56	71.62	92
G <sub>CIE</sub>	52.23	-42.41	13.6	44.55	162
B <sub>CIE</sub>	30.57	1.41	-46.46	46.49	272

%Umfang

$u^*_{rel} = 100$

%Regularität

$g^*_{H,rel} = 59$

$g^*_{C,rel} = 100$

1,00

0,75

0,50

0,25

0,00

0,00

0,25

0,50

0,75

1,00

0,00

0,25

0,50

0,75

1,00

0,00

0,25

0,50

0,75

1,00

relative Schwarzeit  $n^*$

relative Buntheit  $c^*$

### Ausgabe: Farbmétrisches Fernseh-Licht-System TLS00

für Bunton  $h^* = lab^*h = 25/360 = 0.069$

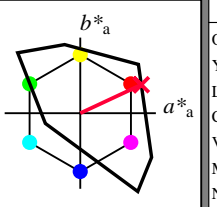
$lab^*tch$  und  $lab^*nch$

D65: Bunton O

LCH\*Ma: 52 89 25

olv\*Ma: 1.0 0.0 0.22

Dreiecks-Helligkeit  $t^*$



### TLS00; adaptierte CIELAB-Daten

	$L^*=L_a^*$	$a^*_a$	$b^*_a$	$C_{ab,a}^*$	$h_{ab,a}^*$
OMa	50.5	76.92	64.55	100.42	40
YMa	92.66	-20.69	90.75	93.08	103
LMa	83.63	-82.75	79.9	115.04	136
CMa	86.88	-46.16	-13.55	48.12	196
VMa	30.39	76.06	-103.59	128.52	306
MMa	57.3	94.35	-58.41	110.97	328
NMa	0.01	0.0	0.0	0.0	0
WMa	95.41	0.0	0.0	0.0	0
R <sub>CIE</sub>	39.92	58.74	27.99	65.07	25
J <sub>CIE</sub>	81.26	-2.88	71.56	71.62	92
G <sub>CIE</sub>	52.23	-42.41	13.6	44.55	162
B <sub>CIE</sub>	30.57	1.41	-46.46	46.49	272

%Umfang

$u^*_{rel} = 158$

%Regularität

$g^*_{H,rel} = 20$

$g^*_{C,rel} = 37$

1,00

0,75

0,50

0,25

0,00

0,00

0,25

0,50

0,75

1,00

0,00

0,25

0,50

0,75

1,00

0,00

0,25

0,50

0,75

1,00

0,00

0,25

0,50

0,75

1,00

0,00

0,25

0,50

0,75

1,00

0,00

0,25

0,50

0,75

1,00

0,00

0,25

0,50

0,75

1,00

0,00

0,25

0,50

0,75

1,00

0,00

0,25

0,50

0,75

1,00

0,00

0,25

0,50

0,75

1,00

0,00

0,25

0,50

0,75

1,00

0,00

0,25

0,50

0,75

1,00

0,00

0,25

0,50

0,75

1,00

0,00

0,25

0,50

0,75

1,00

0,00

0,25

0,50

0,75

1,00

0,00

0,25

0,50

0,75

1,00

0,00

0,25

0,50

0,75

1,00

0,00

0,25

0,50

0,75

1,00

0,00

0,25

0,50

0,75

1,00

0,00

0,25

0,50

0,75

1,00

0,00

0,25

0,50

0,75

1,00

0,00

0,25

0,50

0,75

1,00

0,00

0,25

0,50

0,75

1,00

0,00

0,25

0,50

0,75

1,00

0,00

0,25

0,50

0,75

1,00

0,00

0,25

0,50

0,75

1,00

0,00

0,25

0,50

0,75

1,00

0,00

0,25

0,50

0,75

1,00

0,00

0,25

0,50

0,75

1,00

0,00

0,25

0,50

0,75

1,00

0,00

0,25

0,50

0,75

1,00

0,00

0,25

0,50

0,75

1,00

0,00

0,25

0,50

0,75

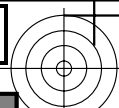
1,00

0,00

0,25

0,50

0,75</



### Eingabe: Farbmétrisches Natürliche-Reflektiv-System CNS18

für Bunton  $h^* = lab^*h = 92/360 = 0.256$

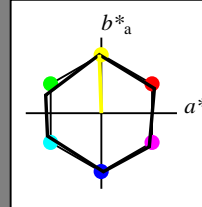
$lab^*tch$  und  $lab^*nch$

D65: Bunton J

LCH\*Ma: 57 77 92

olv\*Ma: 1.0 1.0 0.0

Dreiecks-Helligkeit  $t^*$



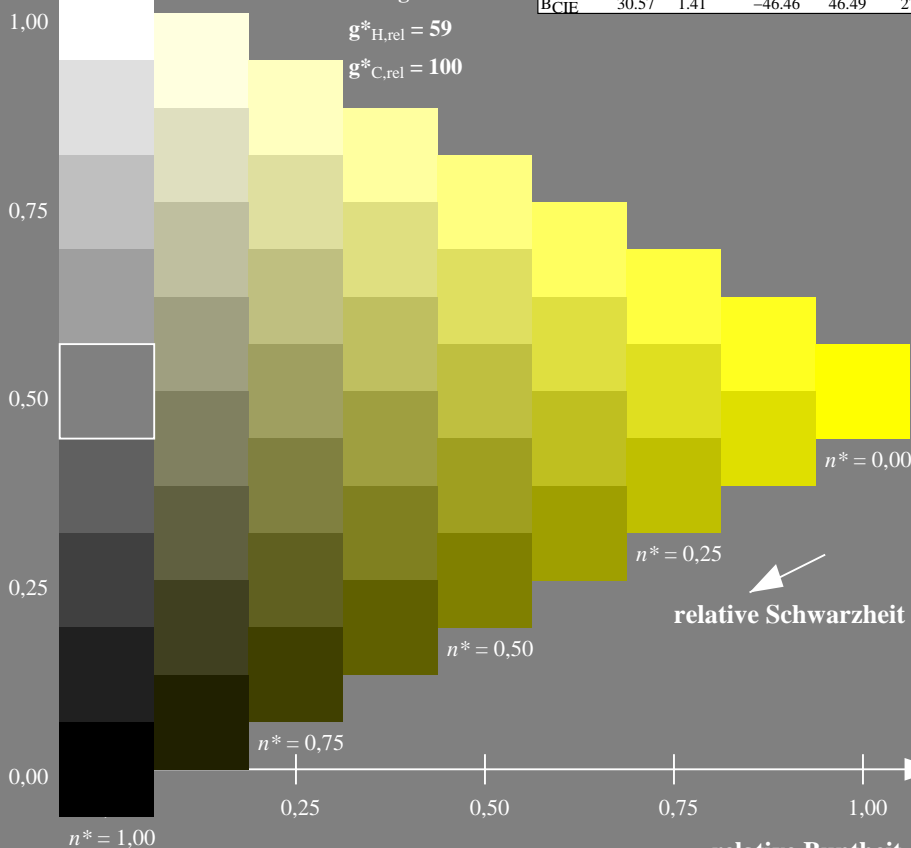
%Umfang

$u^*_{rel} = 100$

%Regularität

$g^*_{H,rel} = 59$

$g^*_{C,rel} = 100$



### Ausgabe: Farbmétrisches Fernseh-Licht-System TLS00

für Bunton  $h^* = lab^*h = 92/360 = 0.256$

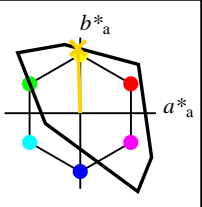
$lab^*tch$  und  $lab^*nch$

D65: Bunton Y

LCH\*Ma: 85 86 92

olv\*Ma: 1.0 0.82 0.0

Dreiecks-Helligkeit  $t^*$



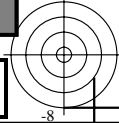
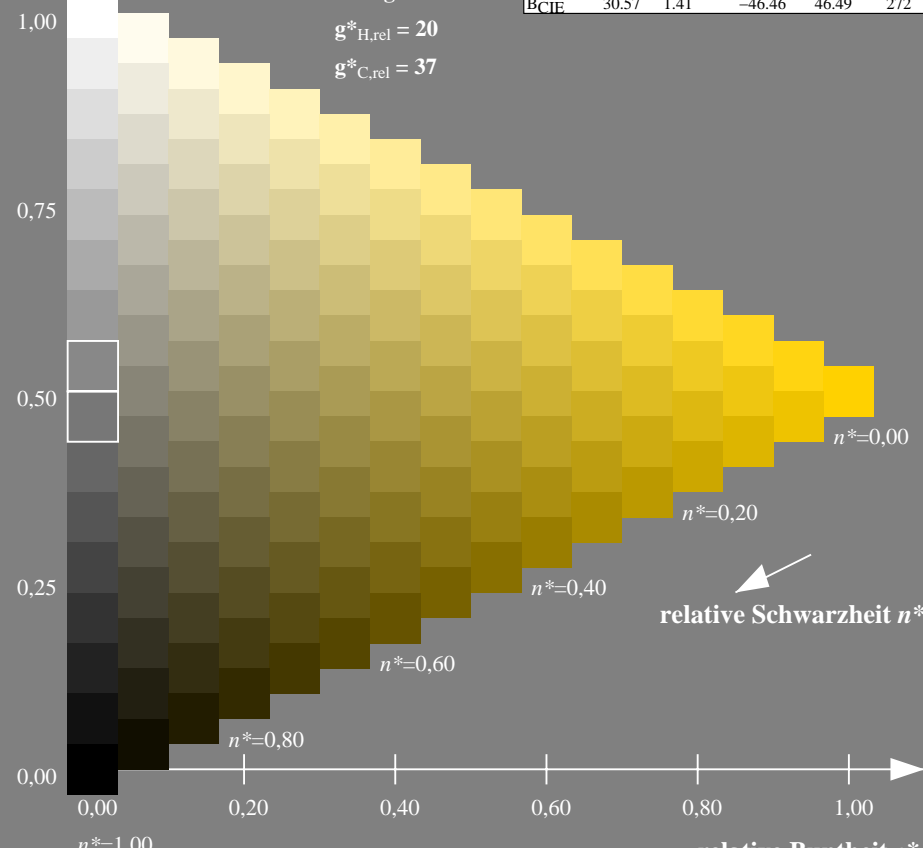
%Umfang

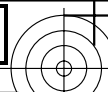
$u^*_{rel} = 158$

%Regularität

$g^*_{H,rel} = 20$

$g^*_{C,rel} = 37$





### Eingabe: Farbmétrisches Natürliche-Reflektiv-System CNS18

für Bunton  $h^* = lab^*h = 162/360 = 0.45$

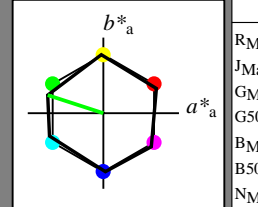
$lab^*tch$  und  $lab^*nch$

D65: Bunton G

LCH\*Ma: 57 77 162

olv\*Ma: 0.0 1.0 0.0

Dreiecks-Helligkeit  $t^*$

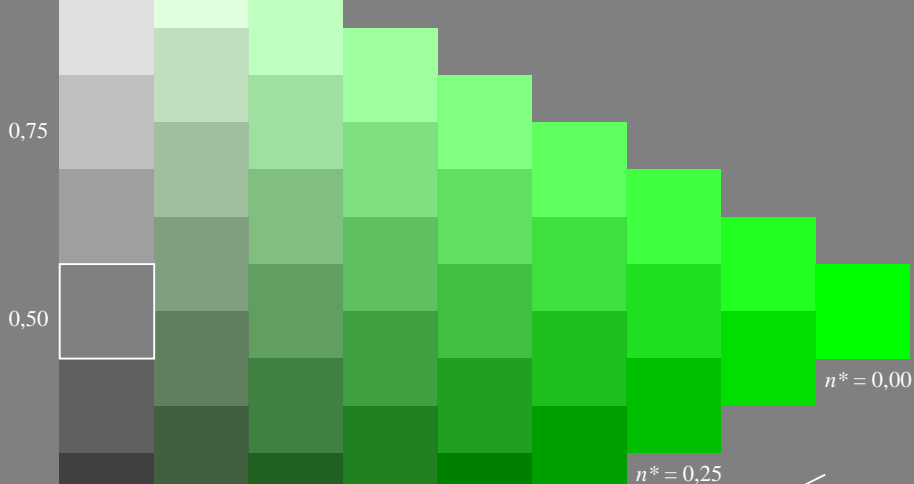


### CNS18; adaptierte CIELAB-Daten

	$L^*=L_a^*$	$a^*_a$	$b^*_a$	$C_{ab,a}^*$	$h_{ab,a}^*$
RMa	56.7	70.15	32.71	77.4	25
JMa	56.7	-2.69	77.35	77.4	92
GMa	56.7	-73.6	23.92	77.4	162
G50BMa	56.7	-71.24	-30.23	77.4	203
BMa	56.7	2.7	-77.34	77.4	272
B50RMa	56.7	63.4	-44.38	77.4	325
NMa	18.01	0.0	0.0	0.0	0
WMa	95.41	0.0	0.0	0.0	0
R <sub>CIE</sub>	39.92	58.74	27.99	65.07	25
J <sub>CIE</sub>	81.26	-2.88	71.56	71.62	92
G <sub>CIE</sub>	52.23	-42.41	13.6	44.55	162
B <sub>CIE</sub>	30.57	1.41	-46.46	46.49	272

%Umfang  
 $u_{rel}^* = 100$   
%Regularität

$g_{H,rel}^* = 59$   
 $g_{C,rel}^* = 100$



### Ausgabe: Farbmétrisches Fernseh-Licht-System TLS00

für Bunton  $h^* = lab^*h = 162/360 = 0.45$

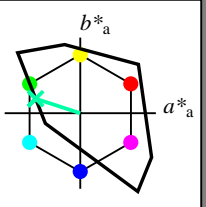
$lab^*tch$  und  $lab^*nch$

D65: Bunton L

LCH\*Ma: 86 62 162

olv\*Ma: 0.0 1.0 0.65

Dreiecks-Helligkeit  $t^*$

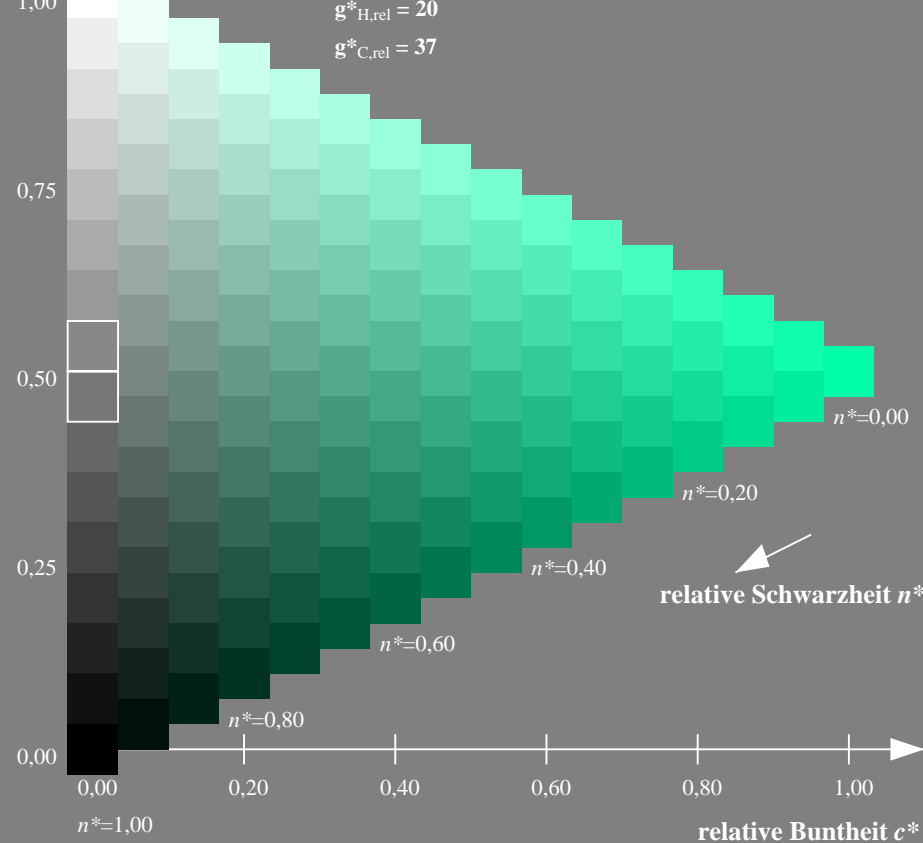


### TLS00; adaptierte CIELAB-Daten

	$L^*=L_a^*$	$a^*_a$	$b^*_a$	$C_{ab,a}^*$	$h_{ab,a}^*$
OMa	50.5	76.92	64.55	100.42	40
YMa	92.66	-20.69	90.75	93.08	103
LMa	83.63	-82.75	79.9	115.04	136
CMa	86.88	-46.16	-13.55	48.12	196
VMa	30.39	76.06	-103.59	128.52	306
MMa	57.3	94.35	-58.41	110.97	328
NMa	0.01	0.0	0.0	0.0	0
WMa	95.41	0.0	0.0	0.0	0
R <sub>CIE</sub>	39.92	58.74	27.99	65.07	25
J <sub>CIE</sub>	81.26	-2.88	71.56	71.62	92
G <sub>CIE</sub>	52.23	-42.41	13.6	44.55	162
B <sub>CIE</sub>	30.57	1.41	-46.46	46.49	272

%Umfang  
 $u_{rel}^* = 158$   
%Regularität

$g_{H,rel}^* = 20$   
 $g_{C,rel}^* = 37$

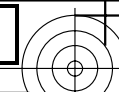


VG59-7, 9stufige Reihen für konstanten CIELAB Bunton 162/360 = 0.45 (links)

16stufige Reihen für konstanten CIELAB Bunton 162/360 = 0.45 (rechts)

BAM-Prüfvorlage VG59; Farbmétrik-Systeme CNS18 & TLS00 input: olv\* setrgbcolor  
D65: 9 und 16stufige Farbreihen für 10 Bunttöne

output: no change compared to input



### Eingabe: Farbmétrisches Natürliche-Reflektiv-System CNS18

für Bunton  $h^* = lab^*h = 203/360 = 0.564$

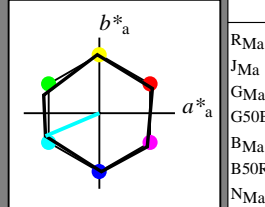
$lab^*tch$  und  $lab^*nch$

D65: Bunton G50B

LCH\*Ma: 57 77 203

olv\*Ma: 0.0 1.0 1.0

Dreiecks-Helligkeit  $t^*$



%Umfang

$u^*_{rel} = 100$

%Regularität

$g^*_{H,rel} = 59$

$g^*_{C,rel} = 100$

CNS18; adaptierte CIELAB-Daten

$L^* = L^*_{a,a}$   $a^*_{a,a}$   $b^*_{a,a}$   $C^*_{ab,a}$   $h^*_{ab,a}$

RMa 56.7 70.15 32.71 77.4 25

JMa 56.7 -2.69 77.35 77.4 92

GMa 56.7 -73.6 23.92 77.4 162

G50BMa 56.7 -71.24 -30.23 77.4 203

BMa 56.7 2.7 -77.34 77.4 272

B50RMa 56.7 63.4 -44.38 77.4 325

NMa 18.01 0.0 0.0 0.0 0

WMa 95.41 0.0 0.0 0.0 0

RCIE 39.92 58.74 27.99 65.07 25

JCIE 81.26 -2.88 71.56 71.62 92

GCIE 52.23 -42.41 13.6 44.55 162

BCIE 30.57 1.41 -46.46 46.49 272

### Ausgabe: Farbmétrisches Fernseh-Licht-System TLS00

für Bunton  $h^* = lab^*h = 203/360 = 0.564$

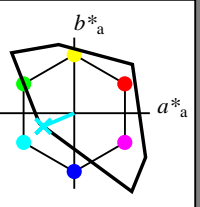
$lab^*tch$  und  $lab^*nch$

D65: Bunton C

LCH\*Ma: 84 45 203

olv\*Ma: 0.0 0.96 1.0

Dreiecks-Helligkeit  $t^*$



%Umfang

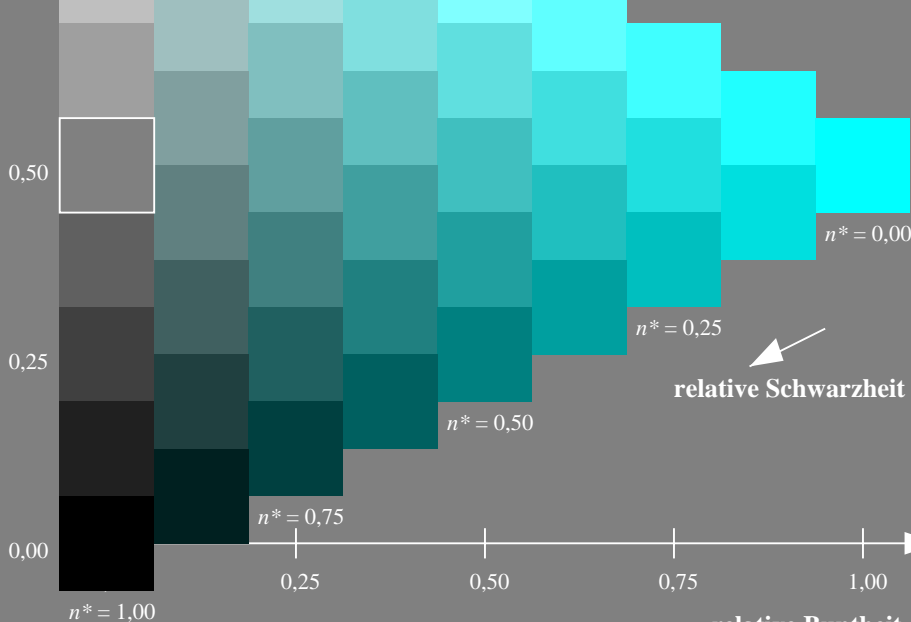
$u^*_{rel} = 158$

%Regularität

$g^*_{H,rel} = 20$

$g^*_{C,rel} = 37$

	$L^* = L^*_{a,a}$	$a^*_{a,a}$	$b^*_{a,a}$	$C^*_{ab,a}$	$h^*_{ab,a}$
OMa	50.5	76.92	64.55	100.42	40
YMa	92.66	-20.69	90.75	93.08	103
LMa	83.63	-82.75	79.9	115.04	136
CMa	86.88	-46.16	-13.55	48.12	196
VMa	30.39	76.06	-103.59	128.52	306
MMa	57.3	94.35	-58.41	110.97	328
NMa	0.01	0.0	0.0	0.0	0
WMa	95.41	0.0	0.0	0.0	0
RCIE	39.92	58.74	27.99	65.07	25
JCIE	81.26	-2.88	71.56	71.62	92
GCIE	52.23	-42.41	13.6	44.55	162
BCIE	30.57	1.41	-46.46	46.49	272



relative Schwarzeit  $n^*$

$n^* = 0,00$

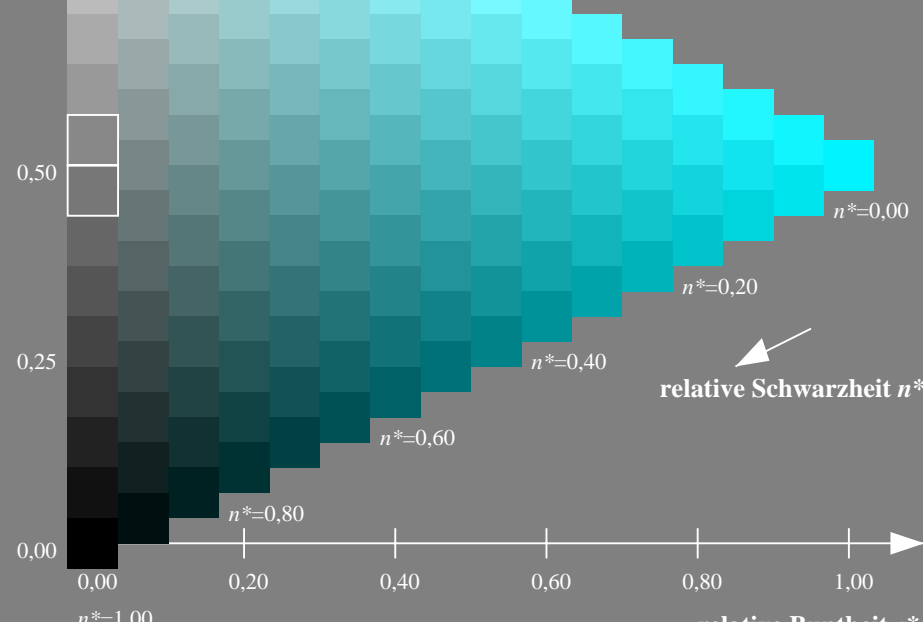
$n^* = 0,25$

$n^* = 0,50$

$n^* = 0,75$

$n^* = 1,00$

relative Buntheit  $c^*$



relative Schwarzeit  $n^*$

$n^* = 0,00$

$n^* = 0,20$

$n^* = 0,40$

$n^* = 0,60$

$n^* = 0,80$

$n^* = 1,00$

relative Buntheit  $c^*$

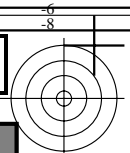
VG59-7, 9stufige Reihen für konstanten CIELAB Bunton 203/360 = 0.564 (links)

BAM-Prüfvorlage VG59; Farbmétrik-Systeme CNS18 & TLS00 input: olv\* setrgbcolor

D65: 9 und 16stufige Farbreihen für 10 Bunttöne

16stufige Reihen für konstanten CIELAB Bunton 203/360 = 0.564 (rechts)

output: no change compared to input



### Eingabe: Farbmétrisches Natürliche-Reflektiv-System CNS18

für Bunton  $h^* = lab^*h = 272/360 = 0.756$

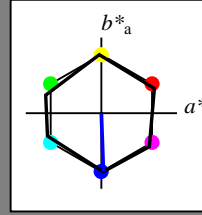
$lab^*tch$  und  $lab^*nch$

D65: Bunton B

LCH\*Ma: 57 77 272

olv\*Ma: 0.0 0.0 1.0

Dreiecks-Helligkeit  $t^*$



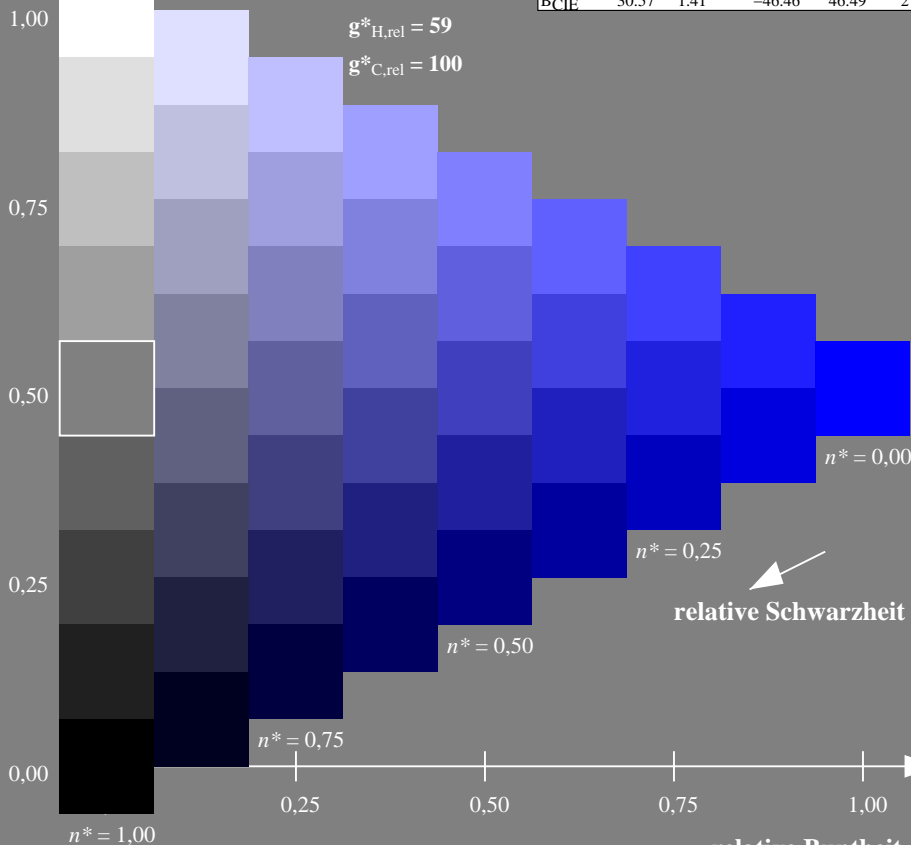
%Umfang

$u^*_{rel} = 100$

%Regularität

$g^*_{H,rel} = 59$

$g^*_{C,rel} = 100$



### Ausgabe: Farbmétrisches Fernseh-Licht-System TLS00

für Bunton  $h^* = lab^*h = 272/360 = 0.756$

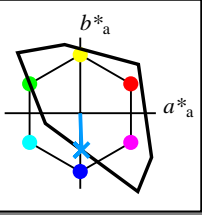
$lab^*tch$  und  $lab^*nch$

D65: Bunton V

LCH\*Ma: 65 49 272

olv\*Ma: 0.0 0.61 1.0

Dreiecks-Helligkeit  $t^*$



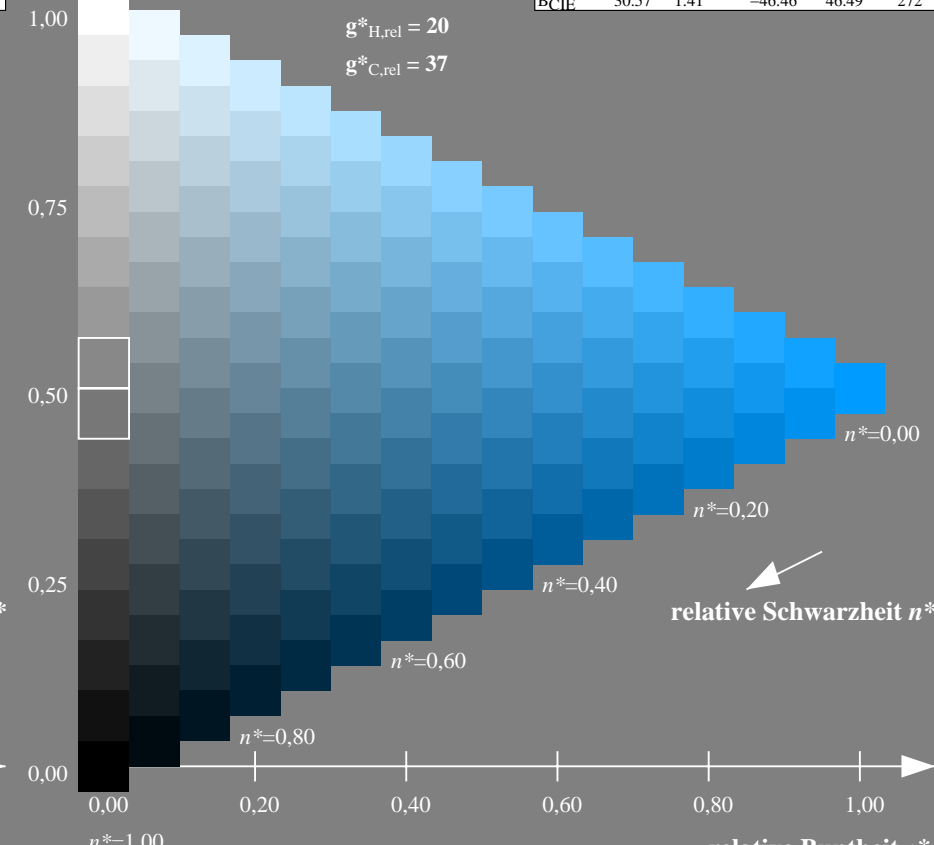
%Umfang

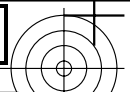
$u^*_{rel} = 158$

%Regularität

$g^*_{H,rel} = 20$

$g^*_{C,rel} = 37$





### Eingabe: Farbmétrisches Natürliche-Reflektiv-System CNS18

für Bunton  $h^* = lab^*h = 325/360 = 0.903$

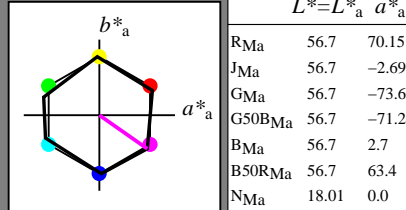
$lab^*tch$  und  $lab^*nch$

D65: Bunton B50R

LCH\*Ma: 57 77 325

olv\*Ma: 1.0 0.0 1.0

Dreiecks-Helligkeit  $t^*$



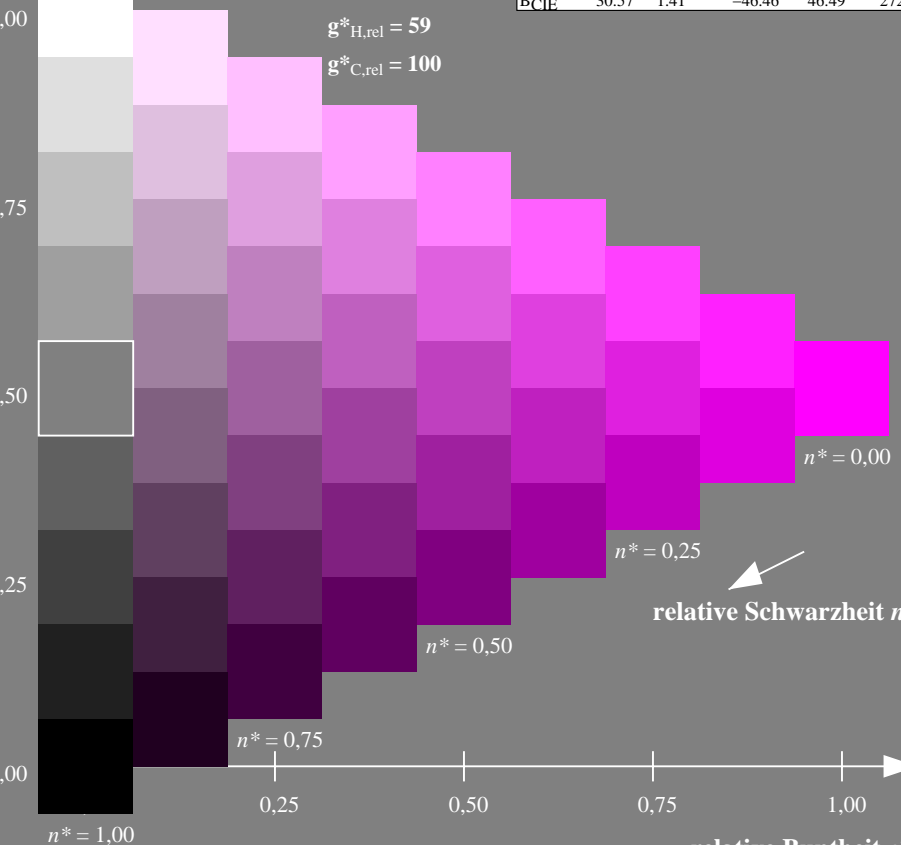
%Umfang

$u^*_{rel} = 100$

%Regularität

$g^*_{H,rel} = 59$

$g^*_{C,rel} = 100$



relative Schwarzeit  $n^*$

relative Buntheit  $c^*$

### Ausgabe: Farbmétrisches Fernseh-Licht-System TLS00

für Bunton  $h^* = lab^*h = 325/360 = 0.903$

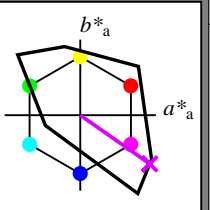
$lab^*tch$  und  $lab^*nch$

D65: Bunton M

LCH\*Ma: 54 112 325

olv\*Ma: 0.87 0.0 1.0

Dreiecks-Helligkeit  $t^*$



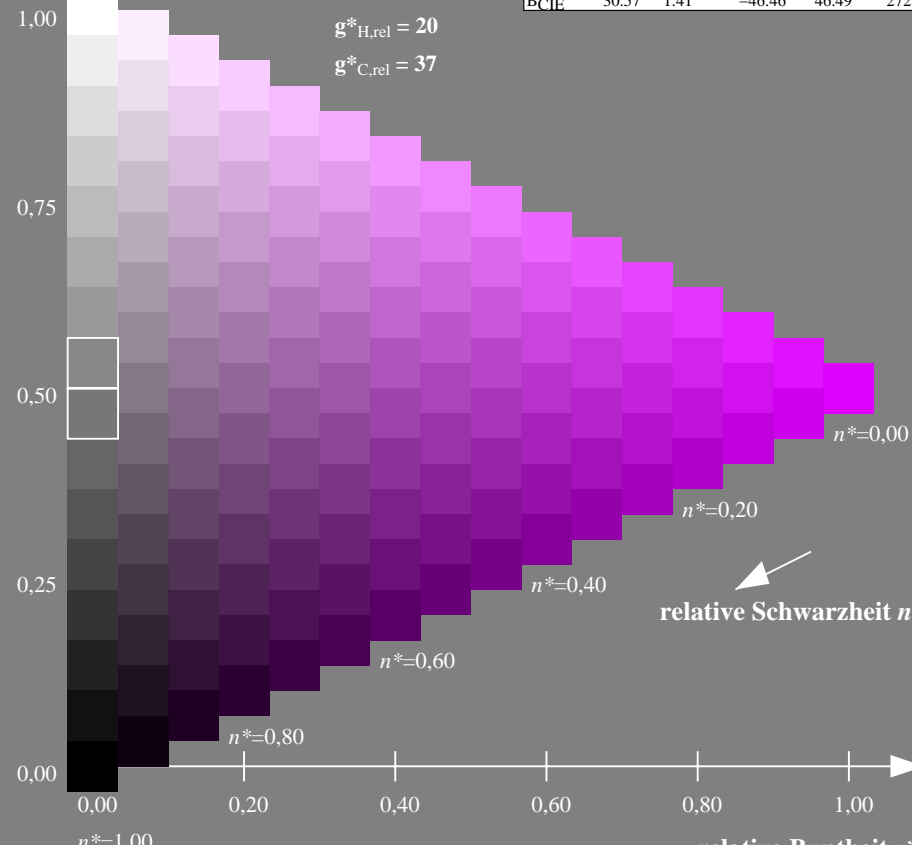
%Umfang

$u^*_{rel} = 158$

%Regularität

$g^*_{H,rel} = 20$

$g^*_{C,rel} = 37$



relative Schwarzeit  $n^*$

relative Buntheit  $c^*$

VG59-7, 9stufige Reihen für konstanten CIELAB Bunton 325/360 = 0.903 (links)

BAM-Prüfvorlage VG59; Farbmétrik-Systeme CNS18 & TLS00 input: olv\* setrgbcolor  
D65: 9 und 16stufige Farbreihen für 10 Bunttöne

16stufige Reihen für konstanten CIELAB Bunton 325/360 = 0.903 (rechts)

output: no change compared to input



### Eingabe: Farbmétrisches Natürliche-Reflektiv-System CNS18

für Bunton  $h^* = lab^*h = 25/360 = 0.071$

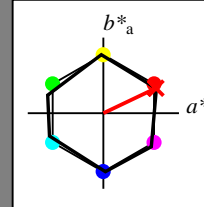
$lab^*tch$  und  $lab^*nch$

D65: Bunton R

LCH\*Ma: 57 77 25

olv\*Ma: 1.0 0.01 0.0

Dreiecks-Helligkeit  $t^*$



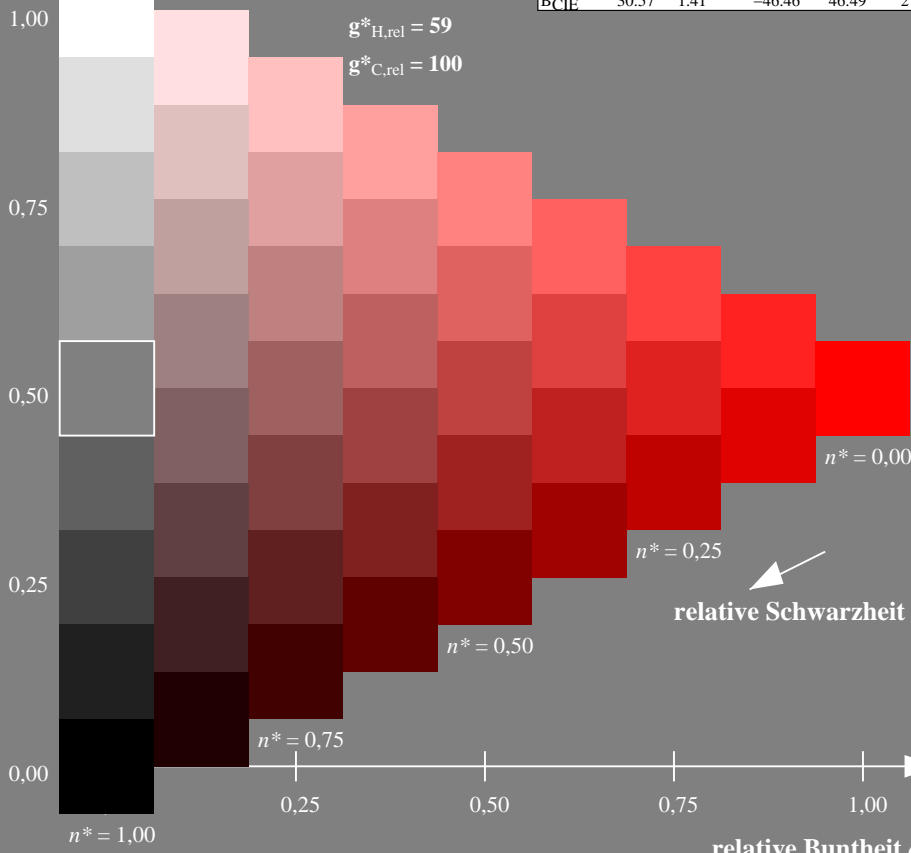
%Umfang

$u^*_{rel} = 100$

%Regularität

$g^*_{H,rel} = 59$

$g^*_{C,rel} = 100$



### CNS18; adaptierte CIELAB-Daten

	$L^*=L_a^*$	$a^*_a$	$b^*_a$	$C^*_{ab,a}$	$h^*_{ab,a}$
RMa	56.7	70.15	32.71	77.4	25
JMa	56.7	-2.69	77.35	77.4	92
GMa	56.7	-73.6	23.92	77.4	162
G50BMa	56.7	-71.24	-30.23	77.4	203
BMa	56.7	2.7	-77.34	77.4	272
B50RMa	56.7	63.4	-44.38	77.4	325
NMa	18.01	0.0	0.0	0.0	0
WMa	95.41	0.0	0.0	0.0	0
R <sub>CIE</sub>	39.92	58.74	27.99	65.07	25
J <sub>CIE</sub>	81.26	-2.88	71.56	71.62	92
G <sub>CIE</sub>	52.23	-42.41	13.6	44.55	162
B <sub>CIE</sub>	30.57	1.41	-46.46	46.49	272

### Ausgabe: Farbmétrisches Fernseh-Licht-System TLS00

für Bunton  $h^* = lab^*h = 25/360 = 0.071$

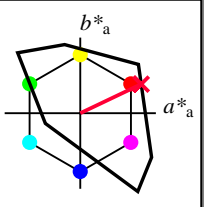
$lab^*tch$  und  $lab^*nch$

D65: Bunton R

LCH\*Ma: 52 89 25

olv\*Ma: 1.0 0.0 0.21

Dreiecks-Helligkeit  $t^*$



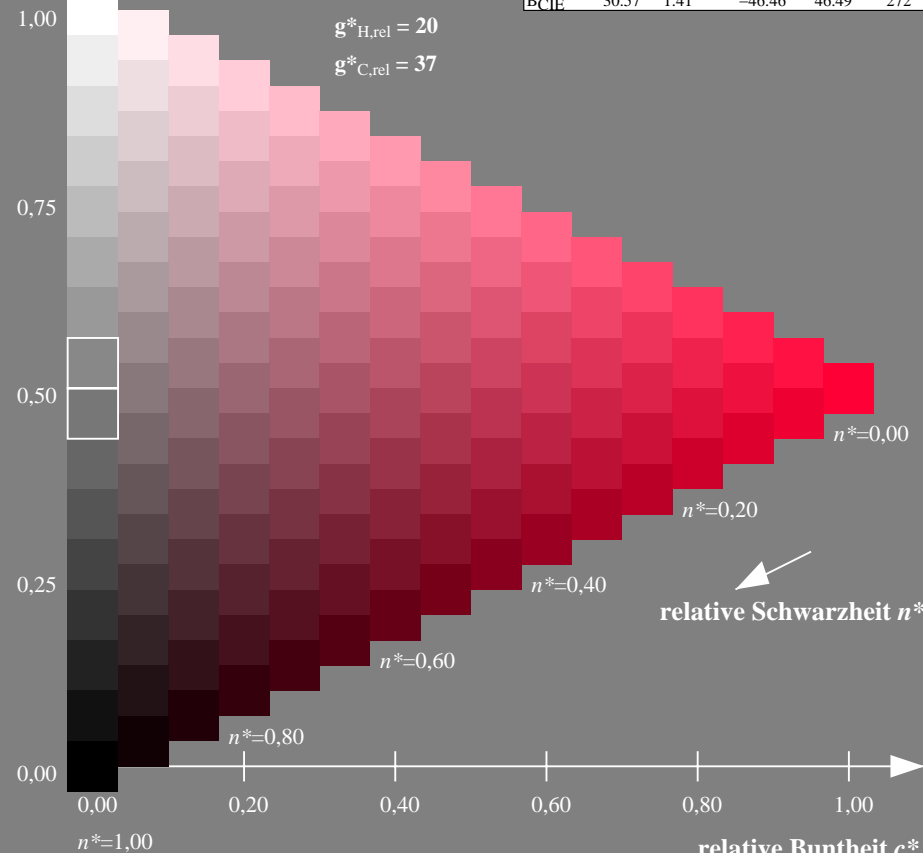
%Umfang

$u^*_{rel} = 158$

%Regularität

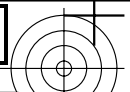
$g^*_{H,rel} = 20$

$g^*_{C,rel} = 37$



### TLS00; adaptierte CIELAB-Daten

	$L^*=L_a^*$	$a^*_a$	$b^*_a$	$C^*_{ab,a}$	$h^*_{ab,a}$
OMa	50.5	76.92	64.55	100.42	40
YMa	92.66	-20.69	90.75	93.08	103
LMa	83.63	-82.75	79.9	115.04	136
CMa	86.88	-46.16	-13.55	48.12	196
VMa	30.39	76.06	-103.59	128.52	306
MMa	57.3	94.35	-58.41	110.97	328
NMa	0.01	0.0	0.0	0.0	0
WMa	95.41	0.0	0.0	0.0	0
R <sub>CIE</sub>	39.92	58.74	27.99	65.07	25
J <sub>CIE</sub>	81.26	-2.88	71.56	71.62	92
G <sub>CIE</sub>	52.23	-42.41	13.6	44.55	162
B <sub>CIE</sub>	30.57	1.41	-46.46	46.49	272



### Eingabe: Farbmétrisches Natürliche-Reflektiv-System CNS18

für Bunton  $h^* = lab^*h = 92/360 = 0.256$

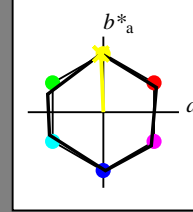
$lab^*tch$  und  $lab^*nch$

D65: Bunton J

LCH\*Ma: 57 77 92

olv\*Ma: 0.99 1.0 0.0

Dreiecks-Helligkeit  $t^*$

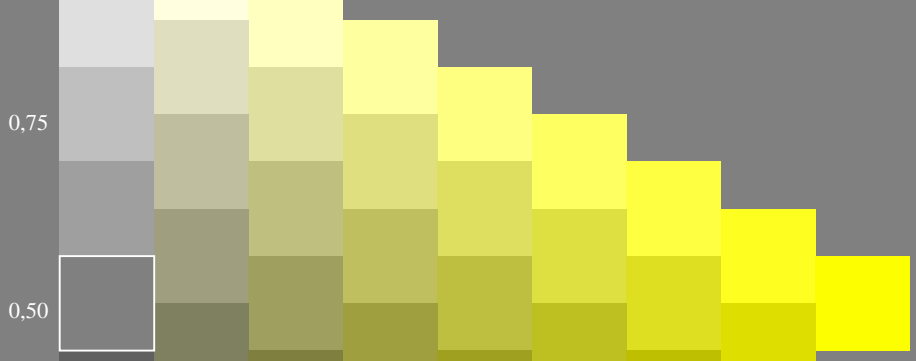


### CNS18; adaptierte CIELAB-Daten

	$L^*=L_a^*$	$a^*_a$	$b^*_a$	$C^*_{ab,a}$	$h^*_{ab,a}$
RMa	56.7	70.15	32.71	77.4	25
JMa	56.7	-2.69	77.35	77.4	92
GMa	56.7	-73.6	23.92	77.4	162
G50BMa	56.7	-71.24	-30.23	77.4	203
BMa	56.7	2.7	-77.34	77.4	272
B50RMa	56.7	63.4	-44.38	77.4	325
NMa	18.01	0.0	0.0	0.0	0
WMa	95.41	0.0	0.0	0.0	0
R <sub>CIE</sub>	39.92	58.74	27.99	65.07	25
J <sub>CIE</sub>	81.26	-2.88	71.56	71.62	92
G <sub>CIE</sub>	52.23	-42.41	13.6	44.55	162
B <sub>CIE</sub>	30.57	1.41	-46.46	46.49	272

%Umfang  
 $u^*_{rel} = 100$   
%Regularität

$g^*_{H,rel} = 59$   
 $g^*_{C,rel} = 100$



$n^* = 1.00$

$n^* = 0.75$

$n^* = 0.50$

$n^* = 0.25$

$n^* = 0.00$

relative Schwarzeit  $n^*$

relative Buntheit  $c^*$

### Ausgabe: Farbmétrisches Fernseh-Licht-System TLS00

für Bunton  $h^* = lab^*h = 92/360 = 0.256$

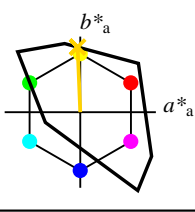
$lab^*tch$  und  $lab^*nch$

D65: Bunton J

LCH\*Ma: 85 86 92

olv\*Ma: 1.0 0.82 0.0

Dreiecks-Helligkeit  $t^*$

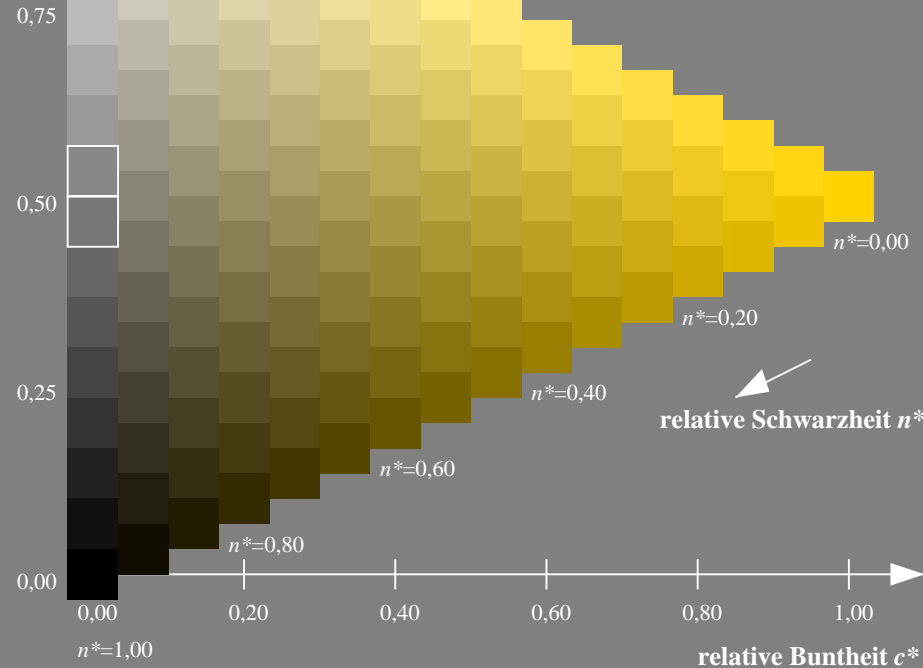


### TLS00; adaptierte CIELAB-Daten

	$L^*=L_a^*$	$a^*_a$	$b^*_a$	$C^*_{ab,a}$	$h^*_{ab,a}$
OMa	50.5	76.92	64.55	100.42	40
YMa	92.66	-20.69	90.75	93.08	103
LMa	83.63	-82.75	79.9	115.04	136
CMa	86.88	-46.16	-13.55	48.12	196
VMa	30.39	76.06	-103.59	128.52	306
MMa	57.3	94.35	-58.41	110.97	328
NMa	0.01	0.0	0.0	0.0	0
WMa	95.41	0.0	0.0	0.0	0
R <sub>CIE</sub>	39.92	58.74	27.99	65.07	25
J <sub>CIE</sub>	81.26	-2.88	71.56	71.62	92
G <sub>CIE</sub>	52.23	-42.41	13.6	44.55	162
B <sub>CIE</sub>	30.57	1.41	-46.46	46.49	272

%Umfang  
 $u^*_{rel} = 158$   
%Regularität

$g^*_{H,rel} = 20$   
 $g^*_{C,rel} = 37$



$n^* = 0.00$

$n^* = 0.20$

$n^* = 0.40$

$n^* = 0.60$

$n^* = 0.80$

$n^* = 0.00$

$n^* = 0.20$

$n^* = 0.40$

relative Schwarzeit  $n^*$

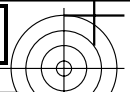
relative Buntheit  $c^*$

VG59-7, 9stufige Reihen für konstanten CIELAB Bunton 92/360 = 0.256 (links)

16stufige Reihen für konstanten CIELAB Bunton 92/360 = 0.256 (rechts)

BAM-Prüfvorlage VG59; Farbmétrik-Systeme CNS18 & TLS00 input: `olv* setrgbcolor`  
D65: 9 und 16stufige Farbreihen für 10 Bunttöne

output: no change compared to input



### Eingabe: Farbmétrisches Natürliche-Reflektiv-System CNS18

für Bunton  $h^* = lab^*h = 162/360 = 0.451$

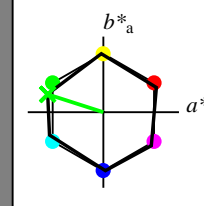
$lab^*tch$  und  $lab^*nch$

D65: Bunton G

LCH\*Ma: 57 77 162

olv\*Ma: 0.0 1.0 0.01

Dreiecks-Helligkeit  $t^*$



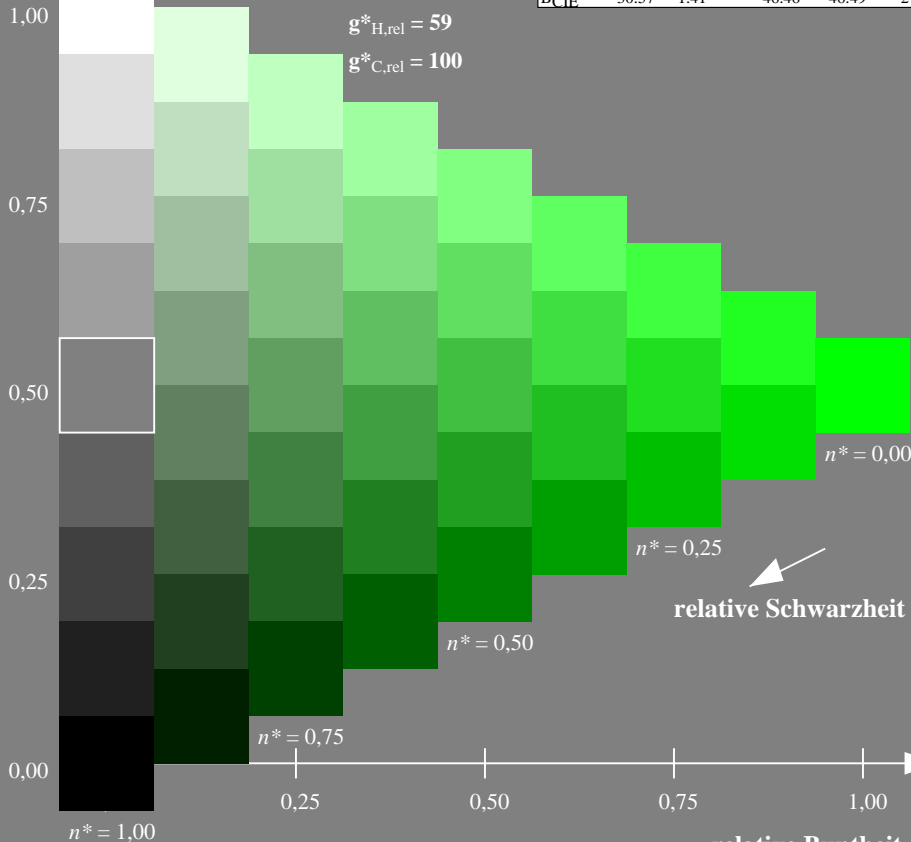
%Umfang

$u^*_{rel} = 100$

%Regularität

$g^*_{H,rel} = 59$

$g^*_{C,rel} = 100$



### CNS18; adaptierte CIELAB-Daten

	$L^* = L^*_{a,a}$	$a^*_{a,a}$	$b^*_{a,a}$	$C^*_{ab,a}$	$h^*_{ab,a}$
RMa	56.7	70.15	32.71	77.4	25
JMa	56.7	-2.69	77.35	77.4	92
GMa	56.7	-73.6	23.92	77.4	162
G50BMa	56.7	-71.24	-30.23	77.4	203
BMa	56.7	2.7	-77.34	77.4	272
B50RMa	56.7	63.4	-44.38	77.4	325
NMa	18.01	0.0	0.0	0.0	0
WMa	95.41	0.0	0.0	0.0	0
R <sub>CIE</sub>	39.92	58.74	27.99	65.07	25
J <sub>CIE</sub>	81.26	-2.88	71.56	71.62	92
G <sub>CIE</sub>	52.23	-42.41	13.6	44.55	162
B <sub>CIE</sub>	30.57	1.41	-46.46	46.49	272

### Ausgabe: Farbmétrisches Fernseh-Licht-System TLS00

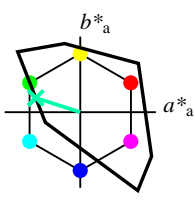
für Bunton  $h^* = lab^*h = 162/360 = 0.451$

$lab^*tch$  und  $lab^*nch$

D65: Bunton G

LCH\*Ma: 86 62 162

olv\*Ma: 0.0 1.0 0.65



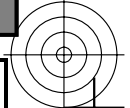
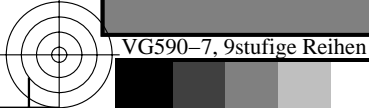
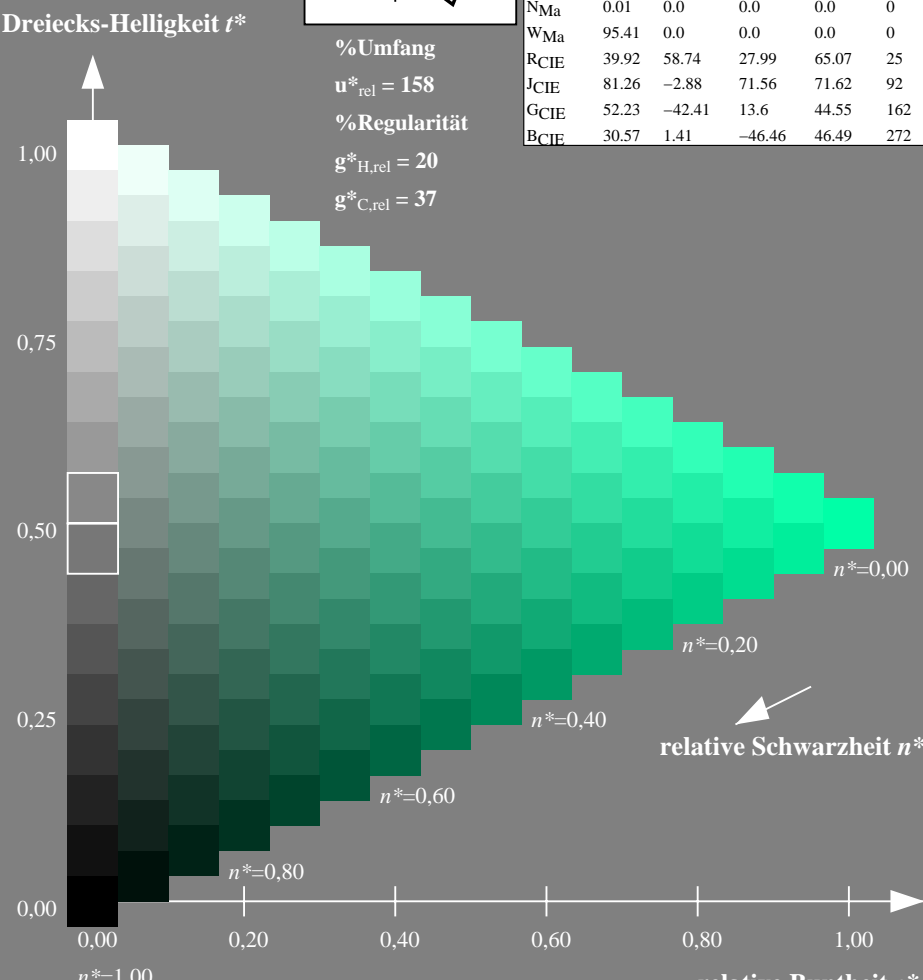
%Umfang

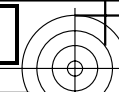
$u^*_{rel} = 158$

%Regularität

$g^*_{H,rel} = 20$

$g^*_{C,rel} = 37$





### Eingabe: Farbmétrisches Natürliche-Reflektiv-System CNS18

für Bunton  $h^* = lab^*h = 272/360 = 0.755$

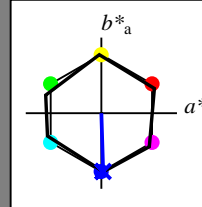
$lab^*tch$  und  $lab^*nch$

D65: Bunton B

LCH\*Ma: 57 77 272

olv\*Ma: 0.0 0.0 1.0

Dreiecks-Helligkeit  $t^*$



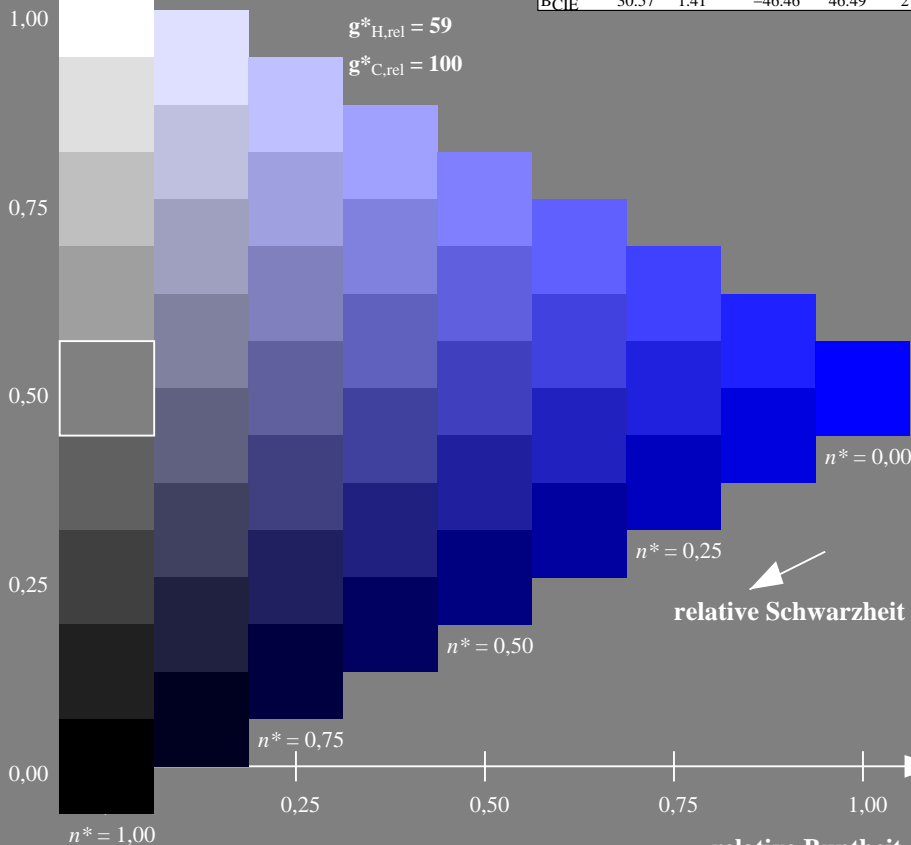
%Umfang

$u^*_{rel} = 100$

%Regularität

$g^*_{H,rel} = 59$

$g^*_{C,rel} = 100$



### Ausgabe: Farbmétrisches Fernseh-Licht-System TLS00

für Bunton  $h^* = lab^*h = 272/360 = 0.755$

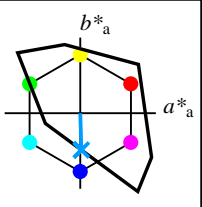
$lab^*tch$  und  $lab^*nch$

D65: Bunton B

LCH\*Ma: 65 49 272

olv\*Ma: 0.0 0.61 1.0

Dreiecks-Helligkeit  $t^*$



%Umfang

$u^*_{rel} = 158$

%Regularität

$g^*_{H,rel} = 20$

$g^*_{C,rel} = 37$

